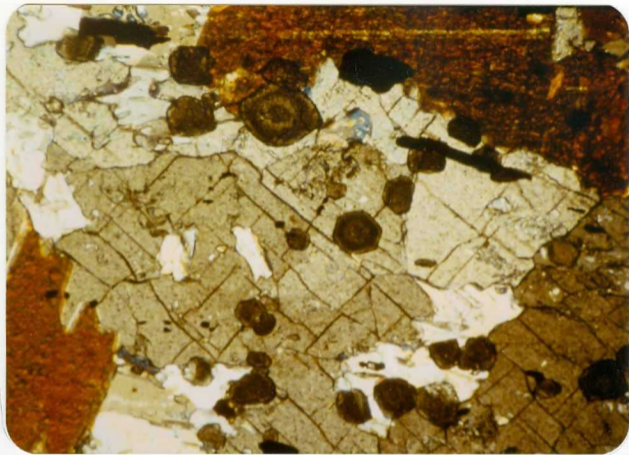


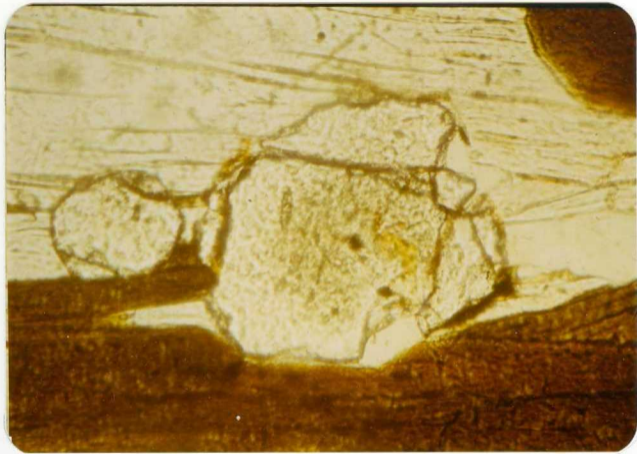
ALBUM DE FOTOGRAFIAS

HOJA 05-09/153

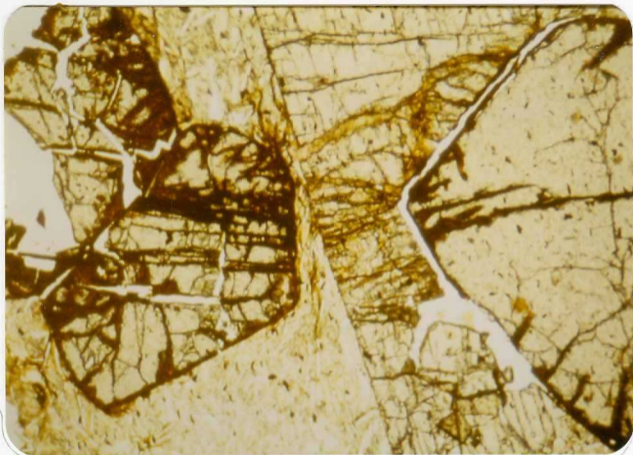
CERDEDO



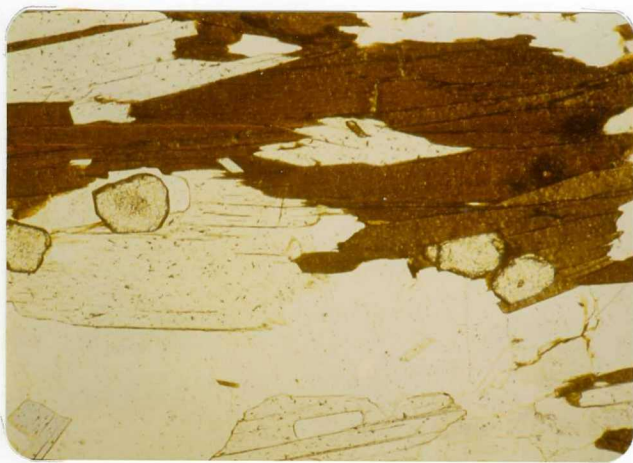
05-09/GP/EK-439.- Pequeños cristales idiomorfos hasta subidiomorfos de granate de posible edad prehercínica (tipo I). Granate zonado y fuertemente anubarrado. Obsérvese su presencia como inclusiones en estaurolita, Unidad de Lalín (PC-S ξ - ζ) Nicoles //; 25 X



05-09/GP/EK-442.- Cristal de granate xenomorfo y algo corroído del tipo I. Esquisto gneífsico, Unidad de Lalín (PC-Sξ-ζ).
Nicoles //; 63 X



05-09/GP/EK-422.- Granate hercínico del tipo II. Alteración en óxidos de Fe/Mn. Parcialmente incluido en estaurolita. Esquisto con granate y estaurolita, Unidad de los Esquistos mi cáceos y cuarcíticos (PC-Sξ). Nicoles //; 10 X



05-09/GP/EK-442.- Pequeños granates anubarrados (tipo I) de posible edad prehercínica. Obsérvese su presencia como inclusiones en biotita. Esquisto gneísico, Unidad de Lalín (PC-Sξ-ζ). Nícoles //; 25 X



05-09/GP/EK-443.- Filón dolerítico tardío (ϵ^3) fueretemente alterado con partes menos alteradas en forma de bolos dispersos. Obsérvese la incipiente exfoliación esferoidal de los bolos.



05-09/GP/EK-444.- Idem anterior.



05-09/GP/EK-445.- Zona anfíbolítica (ξA) en la Unidad de los Esquistos y paragneises (PC-S) ("Lobulo de Codeseda"). Obsérvense las tonalidades anaranjadas de las anfíbolitas alteradas.



05-09/GP/EK-446.- Cuarcita blanquecina (T) asociada al supuesto plano de cabalgamiento de la Unidad de Lalín (PC-S ξ - ζ). Ligeras ondulaciones de la capa de bidas a F₂.



05-09/GP/EK-447.- Idem anterior.



05-09/GP/EK-448 y 449.- Panorámica, desde el Monte Chamor, de la Unidad - de Lalín (PC-S ξ - ζ) densamente poblada y muy cultivada. Al fondo rocas menos fértiles de la Unidad de los Esquistos micáceos y cuarcíticos (PC-S ξ).



05-09/GP/EK-450.- Capa vertical de anfibolita (ξA), flanco occidental de la Serie de Forcarey; Obsérvense las tonalidades anaranjadas de la roca alterada y la disyunción típica en pequeños paralelepípedos rectangulares.



05-09/GP/EK-451.- Idem anterior. Manchas blancas de porfiroblastos de plagioclasa.



05-09/GP/EK-452.- Ruinas de Estañíferas de Galicia S.A. entre Alfonsín y San Martín, en la zona de filones pegmatíticos hasta pneumatolíticos (Fa), paralela al contacto del complejo granítico. *quitar*



05-09/GP/EK-453.- Vista general de la mina de estaño al W de San Martín. El filón principal se extiende - en la foto verticalmente, desde el primer plano, hacia arriba. A la izquierda una apófisis explotada rica en roca greisenificada estañífera. Faja horizontal de cultivos: zona anfibolítica (ξA) del flanco occidental de la Serie de Forcarey (PC-S ξ p).



05-09/GP/EK-454.- Panorámica de la Serie de Forcarey, desde la mina de estaño de San Martín. En primer plano, crestones de esquistos (PC-Sξ). La franja cultivada de trigo corresponde a la zona anfibolítica (ξA) del flanco oriental de la Serie de Forcarey (PC-Sξp). A continuación, nueva zona de crestones formada por esquistos predominantemente cuarcíticos. Y, la siguiente zona de cultivos, esquistos fundamentalmente plagioclásicos, pertenecientes a la Serie de Forcarey. Al fondo, esquistos(PC-Sξ)



05-09/GP/EK-455.- Vista de las instalaciones en ruinas de la mina de estaño de San Martín. Banda con campos: zona anfibolítica (ξA) del flanco occidental de la Serie de Forcarey. El soto alargado corresponde a una zona de gneises plagioclásicos entre dos subzonas anfibolíticas. Al fondo paisaje de crestones correspondiendo a la zona con relativa abundancia de esquistos cuarcíticos de la Serie de Forcarey.



05-09/GP/EK-456.- Enclave xenolítico anguloso en gra
nito inhomogéneo ($_{2-4}\gamma_{mb}^2$), probablemente de origen -
paraderivado. Borde oriental interior del complejo -
granítico.

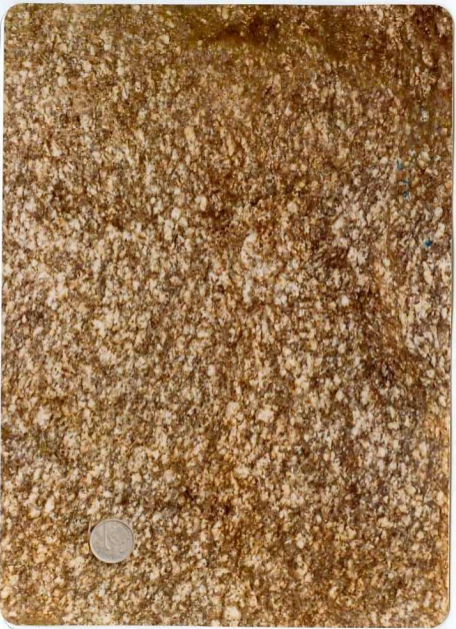


05-09/GP/EK-457.- Filón pegmatítico concordante (PA) con restos de esquistos (PC-Sξ). Borde oriental exterior del complejo granítico.



05-09/GP/EK-450.- Idem anterior, con micropliegues de F_2

05-09/GP/EK-459. - Aspecto del granito inhomogeneo
($2-4 \gamma_{mb}^2$) algo porfídico y relativamente biotítico.
Borde oriental interior del complejo granítico.





05-09/GP/EK-460.- Aspecto del granito inhomogeneo ($2-4\gamma_{mb}^2$) algo porfídico con enclaves en forma de - bandas de granodiorita precoz ($3-4\gamma_b^2$). Obsérvense el paralelismo y la nitidez general de los contactos, dando origen en este punto a un complejo bandeado.



05-09/GP/EK-461.- Enclave de granodiorita precoz ($_{3-4}Yn_b^2$) en granito inhomogéneo ($_{2-4}Y_{mb}^2$) algo porfídico.



05-09/GP/EK-462.- Aspecto del granito inhomogeneo ($_{3-4}\gamma_{mb}^2$) con delgados "schlieren" de biotita y partes de grano más grueso. Zona de contaminación con granodiorita precoz ($_{3-4}\gamma_{nb}^2$)



05-09/GP/EK-463.- Granito inhomogeneo ($_{2-4}\gamma_{mb}^2$) con sus dos componentes principales, respectivamente - ($_{3-4}\gamma_{mb}^2$) y ($_{2-3}\gamma_{mb}^2$). Obsérvese el paralelismo de los contactos de caracter bastante vago (paralelo a la foliación y dirección hercínica regional).



05-09/GP/EK-464.- Aspecto del granito inhomogéneo ($_{2-4}\gamma_{mb}^2$), que en este afloramiento es relativamente homogéneo, mostrando gran parecido con ($_{2-3}\gamma_{mb}^2$)



05-09/GP/EK-465.- Idem anterior, de grano algo más fino. Tipo intermedio entre $(_{2-3}\gamma_{mb}^2)$ y $(_{3-4}\gamma_{mb}^2)$



05-09/GP/EK-466.- Filones pegmatíticos que se entre
cruzan. Granito inhomogéneo ($_{2-4}\gamma_{mb}^2$). Uno de los fi
lones fué desplazado según el plano de otro, mostrando
su cronología distinta.



05-09/GP/EK-467.- Granito inhomogéneo ($2-4 \gamma_{mb}^2$) algo bandeado.



05-09/GP/EK-468.- Contacto entre granito inhomogé-
neo ($2-4\gamma_{mb}^2$) y enclave métrico de paragneises.



05-09/GP/EK-469.- Contacto entre dos granitos en el cuerpo del granito inhomogéneo ($_{2-4}\gamma_{mb}^2$). Los constituyentes podrían corresponder a ($_{2-3}\gamma_{mb}^2$) (arriba) y ($_{3-4}\gamma_{mb}^2$) (abajo), respectivamente.



05-09/GP/EK-470.- Idem anterior. Contacto evidente intrusivo. El granito de grano más fino corta discordantemente la foliación débil. (paralelo al mango del martillo) del granito de grano más grueso.



05-09/GP/EK-471.- Idem anterior. El granito de gr
no más fino tiene aquí el carácter de un granito -
aplítico.



05-09/GP/EK-472.- Diatexitita con bandeado paralelo de tipo "schlieren". Granito inhomogéneo ($2-4\gamma_{mb}^2$)



05-09/GP/EK-473.- Granito inhomogéneo ($_{2-4}\gamma_{mb}^2$) con enclaves de granodiorita-diorita ($_{3-4}\gamma_{nb}^2$). La inhomogeneidad del granito en esta estación resulta, - por lo menos en parte, de la asimilación de tales enclaves.



05-09/GP/EK-474.- Idem anterior.



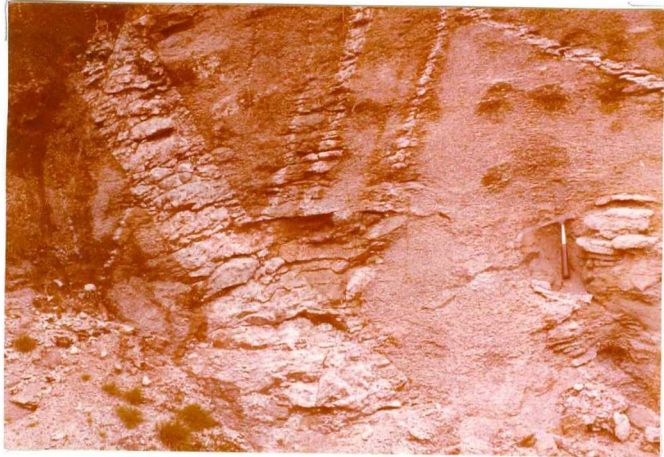
05-09/GP/EK-475.- Contacto intrusivo entre granito -
biotítico porfídico ($p_{2-3}\gamma_b^2$) y paragneises (PC-S)



05-09/GP/EK-476.- Parte pegmatoide en el granito biotítico porfídico ($p_{2-3}\gamma_b^2$)



05-09/GP/EK-477.- Filones pegmatíticos en granito de
dos micas de grano fino-medio ($3-4 \gamma_{mb}^2$)



05-09/GP/EK-478.- Idem anterior.



05-09/GP/EK-479.- Cantera en nivel guia de ortogneis (oç) del flanco occidental de la Serie de Forcarey. Buzamiento subvertical. Disyunción en bloques rectangulares.



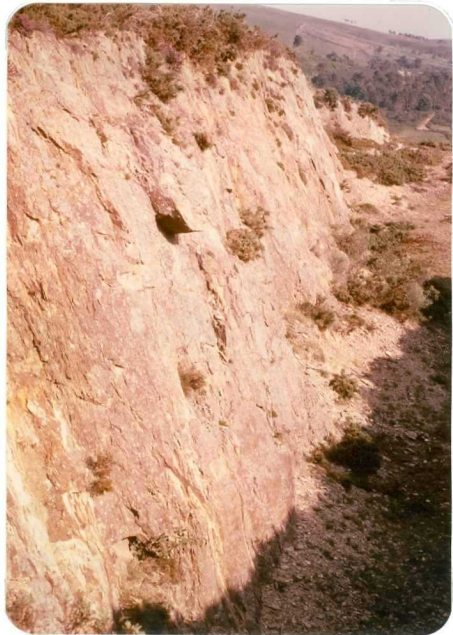
05-09/GP/EK-480.- Ortogneis del nivel guía (oç) del flanco occidental de la Serie de Forcarey. Obsérvense el bandeado litológico muy regular y los incipientes porfiroblastos de plagioclasa.



05-09/GP/EK-481.- Cantera en ortocuarcita tableada (T). Nivel guía en el flanco oriental de la Serie de Forcarey (PC-Sξp). Al fondo crestones de esquistos cuarcíticos de la Unidad de los Esquistos cuarcíticos y micaceos (PC-Sξ).



05-09/GP/EK-482.- Idem anterior. Lineación (intersección de la esquistosidad principal con micropliegues de F_2) con buzamiento sur (a la derecha de la foto)



05-09/GP/EK-483. - Idem anterior



05-09/GP/EK-484.- Idem anterior. Disyunción en -
fragmentos tableados.



05-09/GP/EK-485.- Afloramiento de ortocuarcita ta-
bleada (T), flanco oriental de la Serie de Forcarey
(PC-Sξp)



05-09/GP/EK-486.- Encajamiento en el cuerpo graní-
tico alargado de Pico Valiñas (${}_{3-4}\gamma_{mb}^2$) tallada per
el río Lérez que en este tramo de su curso sigue -
una fractura importante. Disyunción del granito en
pequeños bloques angulosos. Contacto entre granito
y rocas de la Serie de Forcarey (PC-Sξp), en la la-
dera del monte a la izquierda de la foto.

05-09/GP/EK-487.- Afloramiento
de gneis glandular (NGY_{mb}^1) con
pílores de erosión (algunos --
con cantos) en el lecho del río
Lérez.





05-09/GP/EK-488.- Explotación de esquistos verdes con pequeños blastos de albita ("Pizarras") entre Regueiro y Santos. Unidad de los Esquistos micáceos y cuarcíticos (PC-Sξ)

05-09/GP/EK-489.- Esquistos de la Unidad de los Esquistos micáceos y cuarcíticos (PC-Cξ) en el flanco occidental del Monte Uceiro. En el primer plano el Valle del río Asneiro. Diferencia de nivel más de 300 m. En la parte izquierda superior mina abandonada de estaño y filones paralelos (Fa).





05-09/GP/EK-490.- Uso de las "pizarras" en construcciones nativas, Graña.



05-09/GP/EK-491.- Uso de bloques rectangulares de ortogneis (oꝝ) como material de construcción. Grupo escolar de Forcarey.



05-09/GP/EK-492.- Aplicación de la cuarcita tableada (T) de la Serie de Forcarey (PC-Sξp) como piedra de revestimiento. Matices suaves debidos a alteración meteórica.



05-09/GP/EK-493.- Alteración de cuñas más feldes-
páticas con partes más ricas en espodumena. Bandeado
perpendicular a las paredes del filón. Mina abando
donada en pegmatitas de lítio (FP_{Li}). Campo Penidos.



05-09/GP/EK-494.- Bloque suelto de pegmatita de li
tuo, (FP_{Li}) con numerosos cristales alargados de
espodumena. Obsérvense la orientación paralela de
los cristales.



05-09/GP/EK-495.- Cristal subidiomorfo de espodumena en pegmatita de litio -- (FP_{Li}). Tonalidad verde del cristal debida a contenido en cromo (paso a hiddenita = variedad verde de espodumena).